



ISSN N°1850-4086 N°1619

Informe del Mes de Julio de 2024

Autores: Van Meer, Howard; Dominguez, Nelson Javier
Agrometeorología, EEA Santiago del Estero

A lo largo del presente boletín se muestra un resumen del comportamiento de las principales variables climáticas, generadas por la estación agrometeorológica convencional ubicada en el predio del Campo Anexo Ing. Agr. Francisco Cantos, de la Estación Experimental Agropecuaria Santiago del Estero (Lat. S: 28.02, Long. O: 64.23, 169m s.n.m.). Se especificará cuando el análisis haya tenido en cuenta datos de la estación automática Vantage Pro II de Davis®. Los datos históricos se analizaron mediante el empleo del software libre R.

Los datos recabados por I.N.T.A. pueden visualizarse a través de los siguientes enlaces:

- ⊕ <http://siga.inta.gov.ar/>
- ⊕ <https://ema.inta.gob.ar/>

Resumen: El presente mes arrojó un valor medio de temperatura que puede catalogarse como “inferior a la normal”. El valor de temperaturas diarias máximas medio mensual se ha posicionado en la octava ubicación entre los valores más bajos. El valor medio de temperatura mínima de la segunda década se ha ubicado en la sexta posición entre los más bajos. En la tercera década, los valores medios se encontraron por sobre el valor promedio. Se ha registrado al menos un valor diario de temperatura máxima que se encuentra como el 3° valor más bajo. Se han registrado doce heladas meteorológicas, valor mayor al promedio; tres eventos se clasificaron como de intensidad “fuerte” y dos como de

intensidad “muy fuerte”. Se han registrado dieciséis heladas agronómicas, similar al valor promedio.

Se ha registrado 2,0mm de precipitación en el actual mes, catalogándose como Normal.

Los vientos provinieron predominantemente desde la dirección Sudeste. Se registraron vientos máximos de 32,2km/h a 2m de altura sobre la superficie.

La humedad relativa del ambiente presentó valores similares al promedio. Un 07% del tiempo los valores de este parámetro se encontraron por encima del 90%, mientras que un 12% del tiempo los valores se ubicaron en la categoría correspondiente a humedad ambiente “menor a 40%”.

TEMPERATURA

Dada la falta de datos de temperatura extrema diaria de varios días (por escasez de personal) y solamente con motivo de poder mostrar con fines informativos el comportamiento de la temperatura se emplean los datos registrados por la estación meteorológica automática¹ cuando estos falten de la estación meteorológica convencional. No se recomienda emplear las series de datos de ambas fuentes en conjunto a los fines normales, dado el ruido que puede generar en el análisis estadístico de los datos históricos con fines de investigación climatológica.

El valor promedio de temperatura media mensual fue inferior a la normal², de acuerdo con el promedio de la serie³, posicionándose en la novena⁴ posición, ordenados los años de manera ascendente. El valor medio de temperatura máxima fue inferior a la normal, colocándose en el octavo⁵ lugar. El valor medio de temperatura mínima también fue inferior a la normal⁶, compartiendo la decimotercera ubicación con el año 2018. Los valores medios de temperaturas fueron menores al del pasado mes de junio.

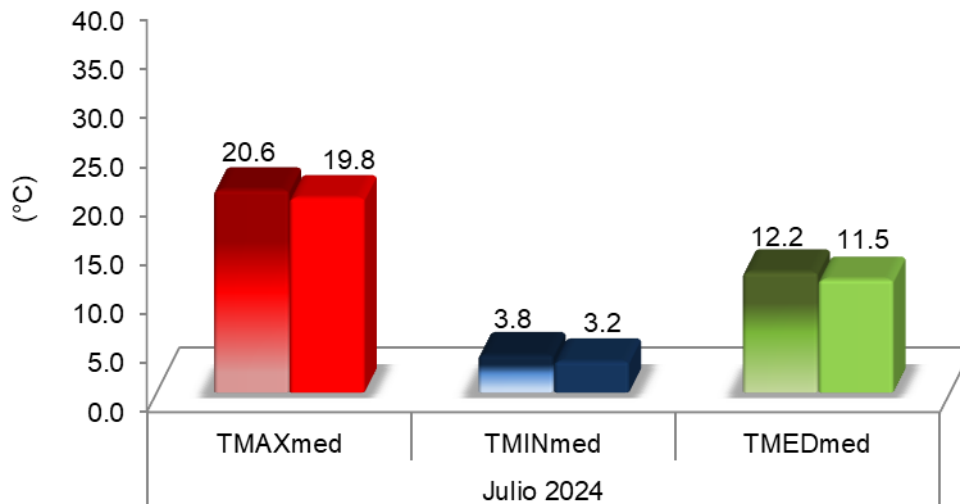


Figura 1. Valores medios mensuales de temperaturas máximas, mínimas y medias para el mes de julio. Referencias: colores degradados (julio serie 1991-2020), colores uniformes (julio 2024).

¹ Temperatura máxima diaria de los días 13, 26 y 30. Temperaturas mínimas diarias de los días 07, 24 y 31. Temperaturas máximas y mínimas diarias de los días 19, 20, 23, 25, 27, 28 y 29. Las temperaturas medias de estos días surgen del promedio de los datos conjuntos de la estación automática en reemplazo de los que faltaran de la estación convencional.

² Para la temperatura, se puede considerar que el valor normal implica valores de aproximadamente $0,5^{\circ}\text{C}$ por debajo o por encima del valor promedio. Valores por debajo o por encima de ese rango serían temperaturas inferiores o superiores a la normal, respectivamente.

³ Serie histórica considerada para el análisis de las temperaturas medias emplea el periodo de datos 1991-2020.

⁴ Sí solamente empleamos los valores medios diarios obtenidos con la estación convencional, el valor medio de $10,1^{\circ}\text{C}$ se ubicaría en la cuarta posición.

⁵ Sí solamente empleamos los valores medios diarios obtenidos con la estación convencional, el valor medio de $19,1^{\circ}\text{C}$ se ubicaría en la cuarta posición.

⁶ Sí solamente empleamos los valores medios diarios obtenidos con la estación convencional, el valor medio de $1,1^{\circ}\text{C}$ se ubicaría en la sexta posición.

Respecto a igual mes del año anterior, el valor medio de temperaturas máximas fue inferior en 2,2°C y el de temperaturas mínimas lo fue en 5,2°C.

El valor de temperatura media fue superior a la normal en la tercera década⁷ (Fig. 2). Los valores medios de temperaturas de la primera década fueron inferiores a los de la última década del mes de junio.

El valor medio de temperaturas máximas fue inferior en 2,6°C y en 1,0°C en las dos primeras décadas y fue superior en 1,0°C en la última. Por su parte, el valor medio de temperaturas mínimas fue menor en 0,4°C y en 4,2°C en las dos primeras décadas respectivamente y superior en 2,3°C en la tercera. Es en la tercera década dónde se registra el valor diario de temperatura máxima mientras que la mínima mensual se registra en la segunda década (Figura 4).

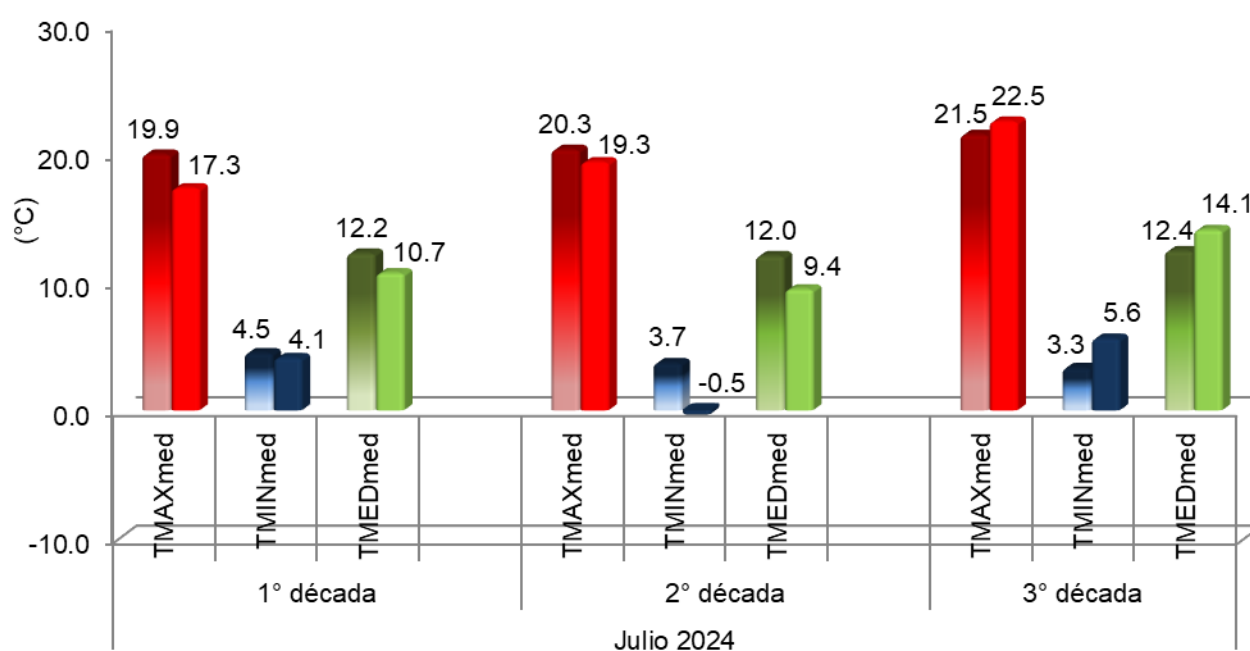


Figura 2. Valores medios de temperaturas máximas, mínimas y medias, agrupadas en períodos decadales, para el mes de julio. Referencias: colores degradados (julio serie 1991-2020), colores uniformes (julio 2024).

El valor medio de temperaturas máximas de la primera década se ubica en la sexta posición⁸ y, el valor de temperaturas mínimas medio de esta década se ubica en la decimocuarta⁹ posición (ordenados los valores de manera ascendente). En la segunda década, el valor medio de temperaturas máximas calculado se ubica en la décima¹⁰ posición, y el valor

⁷ Década: cada uno de los tres intervalos de 10 días en los que se subdivide el mes (1 al 10, 11 al 20 y 21 al 30-31).

⁸ Sí solamente se hubieran empleado los valores diarios obtenidos en la estación convencional, el valor medio de 17,3°C conservaría igual ubicación.

⁹ Sí solamente se hubieran empleado los valores diarios obtenidos en la estación convencional, el valor medio de 3,9°C conservaría igual ubicación.

¹⁰ Sí solamente se hubieran empleado los valores diarios obtenidos en la estación convencional, el valor medio de 20,5°C se ubicaría en la decimocuarta ubicación.

medio de temperaturas mínimas se ubica en la sexta posición¹¹. En la tercera década, el valor promedio de temperaturas máximas¹² se ubica en la octava posición y, el valor promedio de mínimas en la séptima posición¹³ (en este caso ordenados de manera descendente). Con respecto a las temperaturas medias, la primera década comparte la novena posición¹⁴ con el año 1999, el valor de la segunda¹⁵ se ubica en la quinta posición y, el valor de la tercera¹⁶ década se ubica en la vigesimotercera posición (siempre ordenados de manera descendente).

A continuación, se muestran los valores de temperaturas medias de la marcha anual de temperatura en paso decádico para la serie 1991-2020 (Fig. 3). Se tuvo en cuenta solamente el valor medio absoluto más alto y el más bajo para cada década con su correspondiente valor medio, considerando el periodo de la serie histórica. A su vez se indica el valor de temperatura media decádico del corriente año.

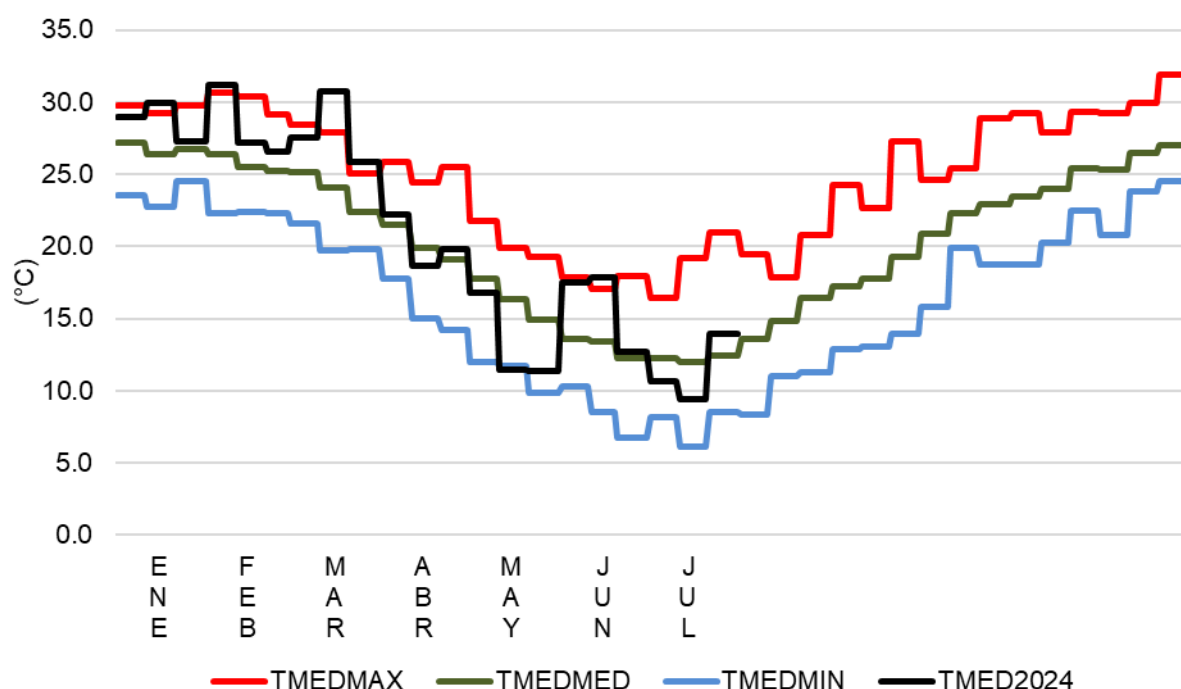


Figura 3. Valores de temperatura media absoluta máxima (TMEDMAX), absoluta mínima (TMEDMIN) y valor medio (serie 1991-2020) (TMEDMED), expresados en forma promedio decadal y, valor de temperatura medio decadal del presente año (TMED2024).

¹¹ Sí solamente se hubieran empleado los valores diarios obtenidos en la estación convencional, el valor medio de 3,5°C se ubicaría en la segunda ubicación.

¹² Sí solamente se hubieran empleado los valores diarios obtenidos en la estación convencional, el valor medio de 21,0°C se ubicaría en la decimosexta ubicación.

¹³ Sí solamente se hubieran empleado los valores diarios obtenidos en la estación convencional, el valor medio de 03,6°C se ubicaría en la decimoquinta ubicación.

¹⁴ Sí solamente se hubieran empleado los valores diarios obtenidos en la estación convencional, el valor medio de 11,0°C conservaría igual ubicación.

¹⁵ Sí solamente se hubieran empleado los valores diarios obtenidos en la estación convencional, el valor medio de 8,7°C compartiría la tercera ubicación con el año 2007.

¹⁶ Sí solamente se hubieran empleado los valores diarios obtenidos en la estación convencional, el valor medio de 11,7° se ubicaría en la decimotercera ubicación.

Se realizó un análisis de los valores de temperaturas más altos registrados en cada categoría, de acuerdo con la serie histórica¹⁷ del mes de julio (Tabla 1).

Tabla 1. Valores de temperatura extremos históricos máximos por categoría y año de ocurrencia.

	Máxima		Mínima		Media	
	Año	T (°C)	Año	T (°C)	Año	T (°C)
1°	1997	36,0	1997	22,1	1997	28,2
2°	2008,2013,2017	33,0	2022,2023	17,5	2008	24,2
3°	2005	32,5	1998	16,8	2023	24,1
4°	2011,2022	32,0	2011	16,6	2022	23,3
5°	2023	31,9	2015	16,5	2004	23,0
	2024	27,4	2024	14,0¹⁸	2024	18,6¹⁹

Además, se realizó un análisis de los valores de temperatura más bajos registrados en cada categoría, de acuerdo con la serie histórica del mes de julio (Tabla 2).

Tabla 2. Valores de temperatura extremos históricos mínimos por categoría y año de ocurrencia.

	Máxima		Mínima		Media	
	Año	T (°C)	Año	T (°C)	Año	T (°C)
1°	2002,2007	7,5	1994	-9,3	1989	0,2
2°	2011	7,9	1989	-9,1	1994	1,3
3°	1991,1992	8,8	2007	-8,7	2007	2,1
4°	1990,2	9,0	1993	-8,3	1995	2,6
5°	2010	9,5	2000,2001	-7,9	2000	3,0
	2024	8,0	2024	-6,5	2024	5,3²⁰

De las tablas se puede mencionar que ha ocurrido un día al menos en que el valor diario de temperatura máxima se encontró entre los más bajos del mes.

En seis días la temperatura máxima diaria se ha encontrado por encima del umbral de los 25,0°C, siendo igual al valor promedio (Figura 4).

En el actual mes se constató de la ocurrencia de doce “heladas meteorológicas”, es decir, la temperatura ha descendido por debajo de 0,0°C y ha sido registrada por un termómetro de mínima ubicado a 150cm de altura, al abrigo de una casilla meteorológica (Fig. 4). La primera helada meteorológica del año se registró el miércoles 15 de mayo, siendo la fecha media

¹⁷ Serie histórica considerada para el análisis de las temperaturas extremas diarias: 1989-2023.

¹⁸ Valor tomado de estación automática para el día 19

¹⁹ Valor calculado combinando valor de temperatura máxima de estación convencional con valor mínimo de estación automática para el día 24.

²⁰ Valor calculado combinando valor de temperatura mínima de estación convencional con valor mínimo de estación automática para el día 13.

de ocurrencia de primera helada²¹ el 3 de junio (criterio de Pascale y Damario, 2004, citados en Fernandez Long *et al.*, 2016²²).

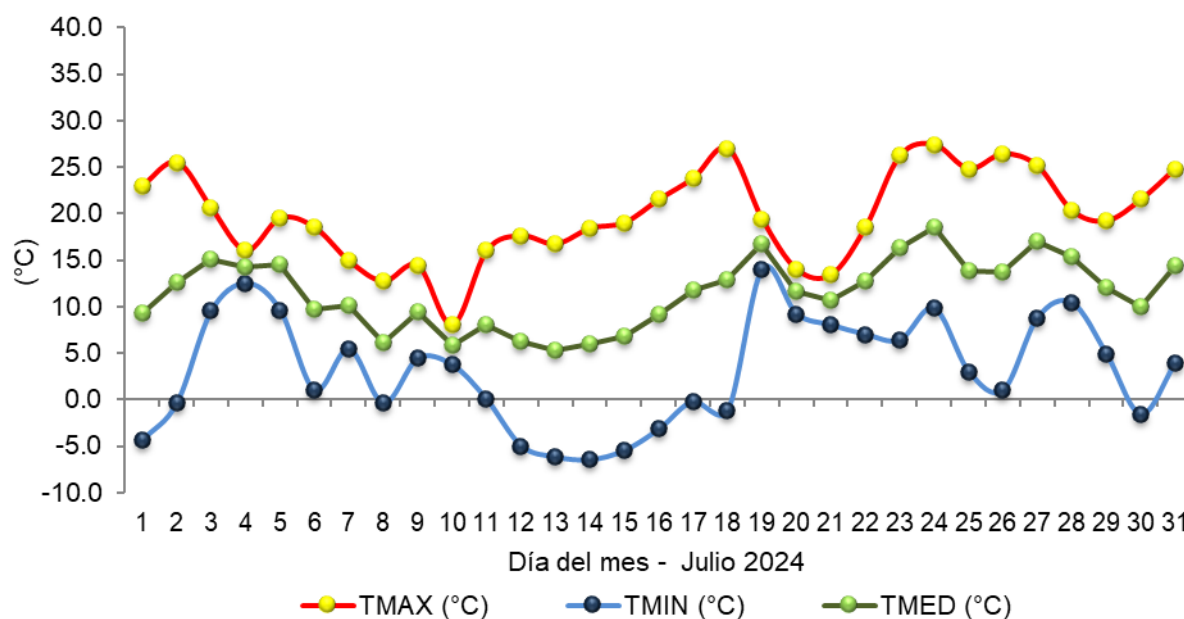


Figura 4. Valores diarios de temperatura para el mes de julio de 2024.

Los frutales de hoja caduca requieren de un período de reposo en la época invernal. Ese periodo de inactividad es un mecanismo que las plantas usan para proteger sus tejidos sensibles de las condiciones climáticas desfavorables²³. Es aceptado generalmente que el inicio de la latencia ocurre alrededor de la senescencia de las hojas, en el otoño²⁴ y para la salida de este, es necesaria una cantidad específica de frío invernal que depende de la especie y variedad/cultivar²⁵. Esta cantidad de frío se contabiliza como horas de frío acumuladas. El método “horas de frío” (denominado “*Chilling Hours*” en inglés) es utilizado ampliamente por ser de fácil comprensión e intuitivo²⁶ y considera el período de tiempo durante el cual la

²¹ Criterio de Pascale y Damario: la fecha de la primera helada queda conformada como el primer día juliano del año en el que se registra una helada, siempre y cuando la misma ocurra antes del día juliano 196 (15 de julio), de lo contrario, en ese año en particular no habrá ocurrido el evento. Luego se obtiene el promedio de todas las primeras fechas de cada año del periodo de datos 1991-2020. Para el particular de nuestra estación, siempre ha ocurrido la primera helada antes de esa fecha.

²² Fernández-Long, M. E., Barnatán, I., Dominici, C., y Murphy, G. (2016). Información agroclimática de las heladas en la Argentina: generación y uso. *Meteorológica*, 41(2), 7-31.

²³ Campoy, J. A., Ruiz, D., y Egea, J. (2011). Dormancy in temperate fruit trees in a global warming context: a review. *Scientia Horticulturae*, 130(2), 357-372. <https://doi.org/10.1016/j.scienta.2011.07.011>

²⁴ Goeckeritz, C., y Hollender, C. A. (2021). There is more to flowering than those DAM genes: the biology behind bloom in rosaceous fruit trees. *Current opinion in plant biology*, 59, 101995. <https://doi.org/10.1016/j.pbi.2020.101995>

²⁵ Castède, S., Campoy, J.A., García, J.Q., Le Dantec, L., Lafargue, M., Barreneche, T., Wenden, B. y Dirlewanger, E. (2014), Genetic determinism of phenological traits highly affected by climate change in *Prunus avium*: flowering date dissected into chilling and heat requirements. *New Phytol*, 202: 703-715. <https://doi.org/10.1111/nph.12658>

²⁶ Luedeling, E. (2012). Climate change impacts on winter chill for temperate fruit and nut production: a review. *Scientia Horticulturae*, 144, 218-229.

temperatura se encontró entre los 0,0°C y los 7,2°C^{27 28 29}, ya que se considera que este rango de temperaturas afecta la finalización de la latencia. Mientras que las temperaturas por debajo de 0°C no contribuyen debido a que los procesos biológicos son ralentizados o directamente no ocurren, las temperaturas por arriba de 7,2°C no se consideran lo suficientemente bajas como para afectar la finalización de la latencia³⁰. Teniendo en cuenta los datos brindados por la estación meteorológica automática³¹, durante el presente mes se acumularon aproximadamente **176 horas de frío**, acumulando en el presente periodo invernal 348 horas de frío.

A continuación, se indica la duración de los periodos en que la temperatura se ha encontrado por debajo de los 0,0°C, de acuerdo con la base de datos de la estación meteorológica automática, para los días en que se han registrado heladas meteorológicas mediante termómetro de mínima ubicado en el abrigo meteorológico convencional a 150cm de altura (téngase en cuenta que la estación automática muestra registros medios de períodos de 15 minutos) (Tabla 3).

Tabla 3. Día de ocurrencia en el mes de julio, valor mínimo diario de temperatura, duración y período³² del tiempo durante el cual se han registrado temperaturas iguales o por debajo de 0,0°C a partir de los datos de la estación meteorológica automática.

Día	Registro mínimo (°C)	Duración (h:min)	Horario del período
1	-4,4	---	Desde las --- ³³ hasta las 09:15
2	-0,4	00:15	Desde las 05:00 hasta las 05:15
8	-0,4	00:30	Desde las 03:00 hasta las 03:30
11	0,0	00:30	Desde las 03:45 hasta las 04:15
12	-5,0	08:30	Desde las 00:45 hasta las 09:15
13	-6,2	11:30	Desde las 22:15 hasta las 09:45
14	-6,5	11:30	Desde las 22:15 hasta las 09:45
15	-5,5	11:00	Desde las 22:30 hasta las 09:30
16	-3,2	05:15	Desde las 03:30 hasta las 08:45
17	-0,2	01:30	Desde las 07:15 hasta las 08:45
18	-1,2	02:15	Desde las 06:30 hasta las 08:45
30	-1,2	05:00	Desde las 03:45 hasta las 08:45

²⁷ Bennett, J. (1949). Temperature and bud rest period: Effect of temperature and exposure on the rest period of deciduous plant leaf buds investigated. *California Agriculture*, 3(11), 9-12.

²⁸ Darbyshire, R., Webb, L., Goodwin, I., & Barlow, S. (2011). Winter chilling trends for deciduous fruit trees in Australia. *Agricultural and forest meteorology*, 151(8), 1074-1085. doi:10.1016/j.agrformet.2011.03.010

²⁹ Rahemi, A., Fisher, H., Dale, A., Taghavi, T., & Kelly, J. (2021). Bud dormancy pattern, chilling requirement, and cold hardiness in *Vitis vinifera* L. 'Chardonnay' and 'Riesling'. *Canadian Journal of Plant Science*, 101(6), 871-885.

³⁰ Fadón, E., Herrera, S., Guerrero, B. I., Guerra, M. E., & Rodrigo, J. (2020). Chilling and heat requirements of temperate stone fruit trees (*Prunus* sp.). *Agronomy*, 10(3), 409.

³¹ Contabilizando periodos de quince minutos en los cuáles el valor de temperatura mínima del periodo se encuentre dentro del rango.

³² La hora de inicio corresponde al inicio del periodo de 15 minutos en que ocurre el descenso de la temperatura por debajo de los 0,0°C, mientras que el fin del periodo se indica por la hora del periodo en el cuál la temperatura ha ascendido por encima de los 0,0°C.

³³ Debido a falla en el sistema de alimentación, el primer registro de esa madrugada es a partir de las 07:00h.

El promedio de días con este tipo de heladas en el mes de julio es de diez, registrándose en todos los años de la serie, siendo diecinueve días el número máximo contabilizados en el año 2007. El año pasado se registraron tan solo cuatro eventos de esta clase.

Para definir la intensidad de una helada, aplicamos el criterio indicado por Da Motta, 1961³⁴, de acuerdo con el cual podemos indicar que han ocurrido seis heladas clasificadas como “suaves”, una “moderada”, tres de intensidad “fuerte” y dos catalogadas como “muy fuertes”.

Desde que el sol se esconde en el horizonte, la superficie del suelo deja de recibir energía, generando un balance negativo en el que sólo está perdiendo energía hacia la atmósfera, por lo que se empieza a enfriar y también las capas de aire inmediatamente encima de él. Se genera entonces un gradiente de temperatura del aire, en el que las capas bajas, cercanas al suelo se encuentran a menor temperatura que aquellas que están por encima. Por ello, en las capas de aire inferiores cercanas al suelo, durante las noches, los valores de temperaturas suelen ser menores a los registrados en la casilla meteorológica. Es así como podemos definir la ocurrencia de “heladas agrometeorológicas” o “heladas agronómicas” cuando la temperatura mínima en el abrigo sea menor o igual a 3,0°C (Tabla 4). Esto lo podemos registrar con el uso de un termómetro de mínima ubicado en intemperie a 5cm sobre la superficie del suelo, el que indica la mínima temperatura que se ha alcanzado durante la noche (temperatura mínima de radiación terrestre nocturna), no obstante, varios días en que los registros en el abrigo se han encontrado por debajo de 3,0°C no presentaron valores por debajo de 0,0°C en intemperie. El martes 14 de mayo fue el primero del año en que la temperatura ha descendido por debajo del umbral arriba mencionado, con 2,5°C. La fecha media de ocurrencia de primera helada³⁵ de este tipo es el 13 de mayo. La variabilidad de la fecha de primera helada ubica la ocurrencia de la primera helada entre el 27 de abril y el 29 de mayo.

Tabla 4. Día de ocurrencia en el mes de julio, valor mínimo de temperatura registrado en abrigo meteorológico a 150cm de altura, registro de temperaturas mínimas nocturnas en intemperie por debajo de 0,0°C a 5cm sobre la superficie y, período del tiempo durante el cual se han registrado temperaturas por debajo de 3,0°C a partir de los datos de la estación meteorológica automática, a 150cm. S/D: sin dato.

Día	Registro mínimo en abrigo (°C)	Registro mínimo en intemperie a 5cm sobre superficie (°C)	Horario del período
1	-4,4	-6,3	Desde las --- ³⁶ hasta las 09:45
2	-0,4	-2,8	Desde las 00:45 hasta las 09:15
6	1,0	-1,0	Desde las 01:45 hasta las 04:15
8	-0,4	-4,6	Desde las 01:45 hasta las 05:15
11	0,0	-3,4	Desde las 02:00 hasta las 09:45
12	-5,0	-8,0	Desde las 21:00 hasta las 10:00
13	-6,2	-7,6	Desde las 20:45 hasta las 10:00
14	-6,5	-7,9	Desde las 21:15 hasta las 10:00
15	-5,5	-6,8	Desde las 21:00 hasta las 09:45
16	-3,2	-4,0	Desde las 22:00 hasta las 09:45
17	-0,2	-3,2	Desde las 06:00 hasta las 09:00
18	-1,2	-3,4	Desde las 02:30 hasta las 09:15

³⁴ Da Motta, F. (1961). Geadas da primavera no Rio Grande do Sul. *Cir. Inst. Agron. S. Pelotas*. Brasil. Pág. 1-15.

³⁵ Obtenido por promedio de todas las primeras fechas de cada año en que el valor de temperatura fue menor o igual a 3,0°C, del periodo de datos 1991-2020.

³⁶ Debido a falla en el sistema de alimentación, el primer registro de esa madrugada es a partir de las 07:00h.

25	3,0 ³⁷	S/D	Desde las 07:45 hasta las 08:00
26	1,0	0,0	Desde las 04:00 hasta las 08:30
30	-1,6	-4,2	Desde las 23:45 hasta las 09:15

De la Tabla 4 podemos indicar que han ocurrido dieciséis “heladas agrometeorológicas” en el actual mes. El promedio de días con este tipo de heladas en el mes de julio es de quince, ocurriendo en todos los años, siendo veinticinco días el número máximo contabilizado en el año 2012. Para igual mes del año anterior se contabilizaron nueve heladas de esta clase.

En la Figura 5 podemos apreciar la evolución de la temperatura ambiente particularmente cuando los registros de la estación automática marcan valores por debajo de 3,0°C y menores. No se muestran valores de temperatura por encima del mencionado umbral.

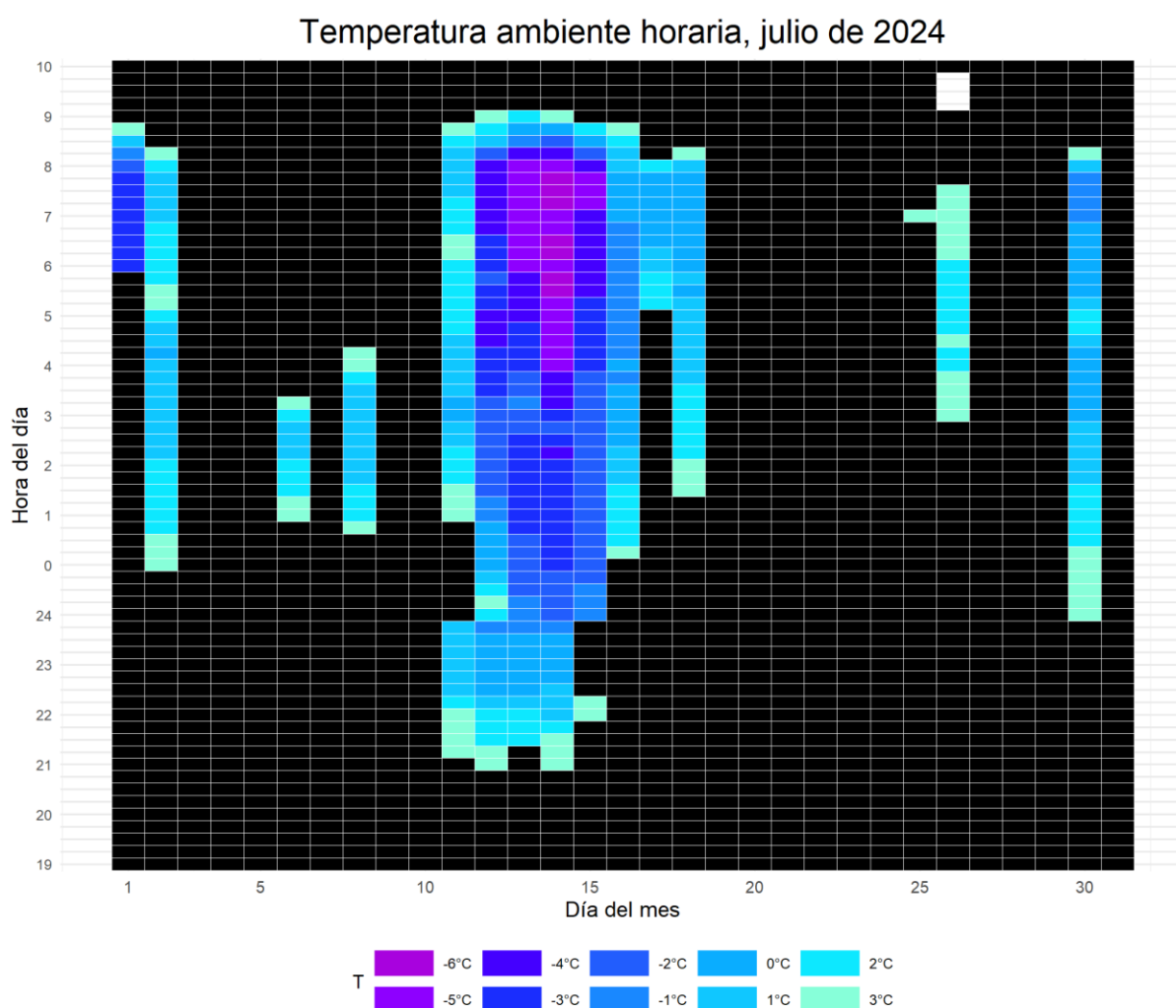


Figura 5. Valores de temperatura ambiente consideradas como heladas agronómicas y meteorológicas a lo largo del día a partir de los datos de la estación meteorológica automática.

³⁷ Valor obtenido del registro mínimo diario de la estación automática.

En la figura anterior solo se muestran entre las 19:00h del día que indica el eje “x” y se continúa a partir de las 00:00h con el día siguiente dónde se registra la helada indicada en tablas previas, hasta las 10:00h solamente.

Un análisis de los valores de temperaturas medias diarias se realizó (Figura 6). Se tuvo en cuenta solamente el valor medio absoluto más alto y el más bajo para cada día con su correspondiente valor medio, considerando el periodo total de la serie histórica. A su vez se indica el valor de temperatura media diario³⁸ del corriente año. Particularmente los días 07, 08, 13, 14 y 15 presentaron un valor medio del día que es más alto que el máximo de la actual climatología.

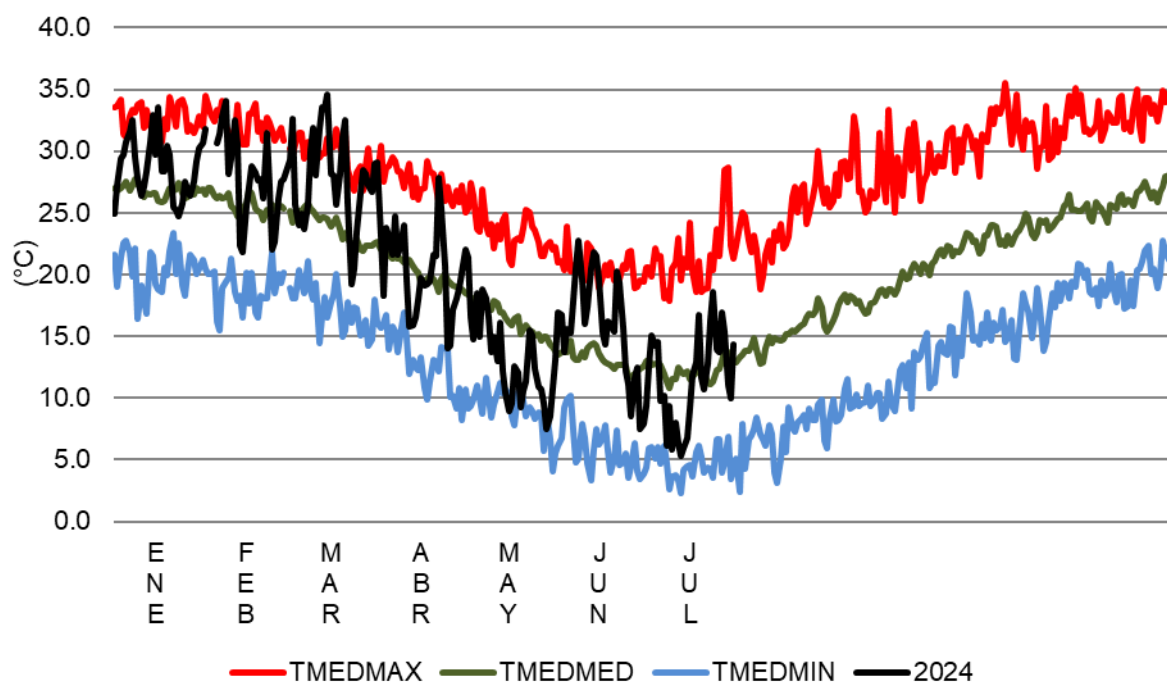


Figura 6. Valores de temperatura media: absoluta máxima, absoluta mínima y valor medio (serie 1991-2020), expresados en forma diaria y, valor de temperatura medio diario del presente año.

Los Grados Días de crecimiento son un indicador, basado en la temperatura del aire, que es empleado para evaluar el crecimiento, el desarrollo y la madurez del cultivo³⁹. Es una medida de la acumulación de calor, utilizada para predecir las tasas de desarrollo de plantas y plagas, como por ejemplo la fecha en que un cultivo alcanza la madurez. En ausencia de condiciones extremas como la sequía o una enfermedad, las plantas crecen de forma gradual y acumulativa, lo que está fuertemente influenciado por la temperatura ambiente. Se definen (entre varios métodos de cálculo) como la temperatura media diaria (promedio de las temperaturas máximas y mínimas) por encima de un cierto umbral de temperatura base, acumulada diariamente durante un período de tiempo. Estas temperaturas dependen de la fase

³⁸ Incluye los valores de temperaturas medias diarias calculados combinando con los datos de la estación automática cuando estos faltasen de la estación convencional.

³⁹ Mavi, H. S. & Tupper, G. J. (2004). Chapter 3. Environmental Temperature and Crop Production. In: *Agrometeorology: principles and applications of climate studies in agricultura* (pp43-68). CRC Press.

de desarrollo, no obstante, a los fines del presente, se ha definido solo una, independientemente del estado fisiológico.

Para el cultivo de trigo se han acumulado 107,0, 94,4 y 153,6 grados días (temperatura base: $0,0^{\circ}\text{C}^{40}$) en cada una de las tres décadas respectivamente, totalizando 355,0 grados días para el mes de julio. En el caso del cultivo de cebolla se emplea como temperatura base $5,9^{\circ}\text{C}^{41}$ contabilizando de esta forma 48,1, 36,1 y 88,7 grados días en cada una de las tres décadas respectivamente, con iguales aclaraciones del cálculo mencionadas, lo que logra un acumulado mensual de 172,8 grados días.

PRECIPITACIÓN

Se registraron 2,0mm precipitación, siendo el valor promedio de la serie⁴² para el presente mes de 1,8mm. En 20 años de la serie no se registró precipitación.

En la Figura 7 se ejemplifica cómo fue la anomalía en milímetros de cada uno de los meses de julio de la serie de datos histórica de precipitación mensual acumulada (1981-2023) respecto al promedio.

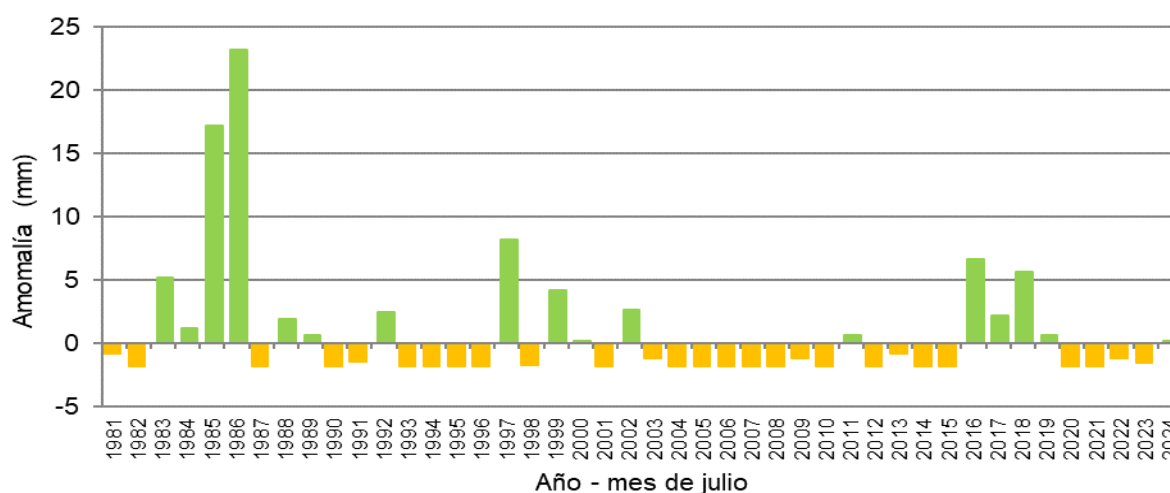


Figura 7. Anomalía de precipitación mensual (mm) para el mes de julio. Climatología 1991-2020.

Los valores extremos de precipitación acumulada mensual a lo largo de la serie histórica para el presente mes son de 0mm como valor mínimo y 25mm como valor máximo ocurrido en el año 1986.

Considerando que las precipitaciones son un fenómeno discontinuo temporal y espacialmente, una mejor descripción se obtiene con el uso de la Mediana, que es una medida estadística de posición central de los datos, informándonos un valor que indica que existe un

⁴⁰ INTA. Estimación de la distribución espacial de la incidencia de la fet (fusarium de la espiga de trigo) en la región pampeana para la campaña 2012/13. 2013. En: Información técnica de trigo y otros cultivos de invierno, campaña 2013. Publicación Miscelánea N° 125. INTA–Estación Experimental Agropecuaria Rafaela. pp 63-67.

⁴¹ Brewster, J. L. 2008. Chapter 4: Physiology of crop growth. *Onions and other Vegetable Alliums*. (2nd ed.), Vol. 15, CAB International, North America.

⁴² Serie histórica considerada para el análisis de las precipitaciones mensuales: 1991-2020.

número igual de datos inferiores y superiores a este valor. Para el caso del mes de julio, dicho valor es de 0,1mm. Relacionado a esto, el actual mes presentó un comportamiento “normal”.

Se analizaron los valores de precipitación máximos registrados en un día pluviométrico⁴³, de acuerdo con la serie histórica del mes de julio (Tabla 5).

Tabla 5. Valores máximos históricos de precipitación diaria⁴⁴ para el mes de julio.

	Año	mm
1°	2016	6,5
2°	2002	5,5
3°	1999	4,0
4°	1992	3,5
5°	1989,1997	2,5

INSOLACIÓN

Durante el mes se han acumulado 98,6⁴⁵ horas de heliofanía efectiva⁴⁶, el valor promedio de la serie⁴⁷ para el presente mes es de 187 horas. Expresado como heliofanía relativa⁴⁸, el presente mes presentó un valor promedio del 53%⁴⁹.

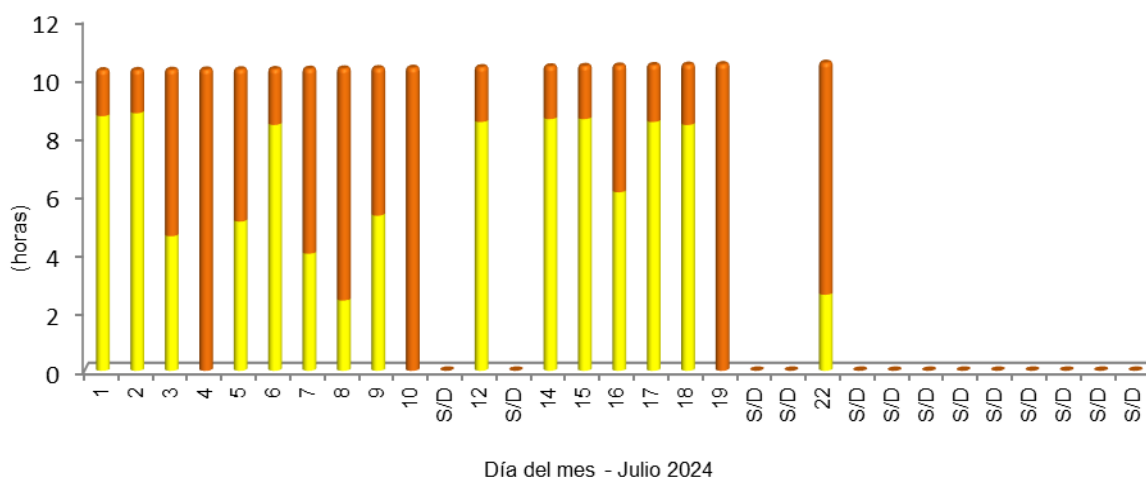


Figura 8. Valores de heliofanía efectiva con relación a la heliofanía teórica astronómica para cada día, expresados en horas y décimos de hora, registrados mediante un heliofanógrafo tipo Campbell-Stokes.

⁴³ Día pluviométrico: entiéndase como tal al valor de precipitación acumulado desde las 09:01 horas de un día, hasta las 09:00 horas del día siguiente, adjudicando dicho valor al primer día.

⁴⁴ Serie histórica considerada para el análisis del valor máximo de precipitación acumulada en un día pluviométrico: 1989-2023.

⁴⁵ Nótese que faltan registros de trece días.

⁴⁶ Heliofanía efectiva: período de tiempo (expresado en horas y décimos de hora) durante el cual el lugar de observación ha recibido radiación solar directa (es decir, que no ha sido interceptada por obstáculos) y que ha sido, además, registrada por el instrumental de medición.

⁴⁷ Serie de referencia para horas promedio mensual de insolación: 1989-2014.

⁴⁸ Heliofanía relativa: relación entre la heliofanía efectiva con respecto a la heliofanía teórica astronómica.

⁴⁹ Valor calculado en relación con días con datos de heliofanía.

Viento

Los valores de viento medio diario⁵⁰ se tomaron a partir de un anemómetro cuentavueltas totalizador, mientras que el valor de viento máximo⁵¹ se obtuvo a partir de los datos generados por la estación automática (Figura 9), ambos tomados a una altura de dos metros sobre el nivel del suelo.

El valor mensual medio fue de 2,1km/h⁵², siendo el valor medio de la serie de julio de 3,8km/h. El valor de viento máximo más alto del mes fue de 32,2km/h, registrado en la siesta del día 24, proveniente desde la dirección Sureste.

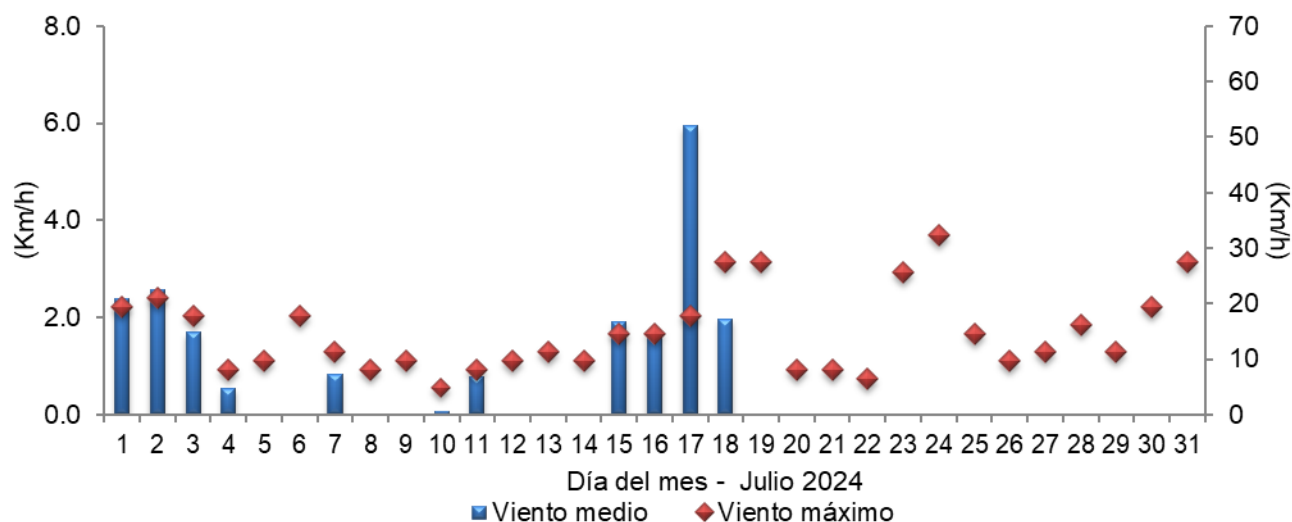


Figura 9. Valores de viento promedio diario a partir de anemómetro y, valor del viento máximo diario registrado por estación meteorológica automática.

En relación con la dirección del viento, se analizaron los datos a partir de la información generada por la estación automática. Se tomó en cuenta la velocidad media (km/h) en períodos de 15 minutos, con su correspondiente dirección prevalente para cada periodo. Se agruparon las direcciones prevalentes provenientes de los 2.857 períodos que componen al mes, como porcentaje del total y, a su vez la proporción de cada intervalo de velocidad en cada uno de los 16 rumbos⁵³ posibles de orientación de la dirección del viento. Se registró un 63% de

⁵⁰ Viento medio diario: cifra correspondiente al valor de viento promedio producto de la diferencia entre los valores observados en el visor del anemómetro cuentavueltas totalizador entre dos observaciones de días consecutivos, efectuadas a las 09:00h.

⁵¹ Viento máximo: valor de velocidad máxima monitorizado por un elemento registrador, expresado en este caso en función del día civil.

⁵² Con la faltante de datos de doce días.

⁵³ Direcciones posibles desde donde provienen los vientos: Norte (N), Nornoreste (NNE), Noreste (NE), Estenoreste (ENE), Este (E), Estesudeste (ESE), Sudeste (SE), Sursudeste (SSE), Sur (S), Sursudoeste (SSW), Sudoeste (SW), Oestesudoeste (WSW), Oeste (W), Oestenoroeste (WNW), Noroeste (NW), Nornoroeste (NNW).

períodos con viento en calma, es decir, velocidades medias iguales a 0,0km/h. La figura fue confeccionada mediante el lenguaje R⁵⁴, con el empleo del paquete “Open Air”⁵⁵ (Figura 10).

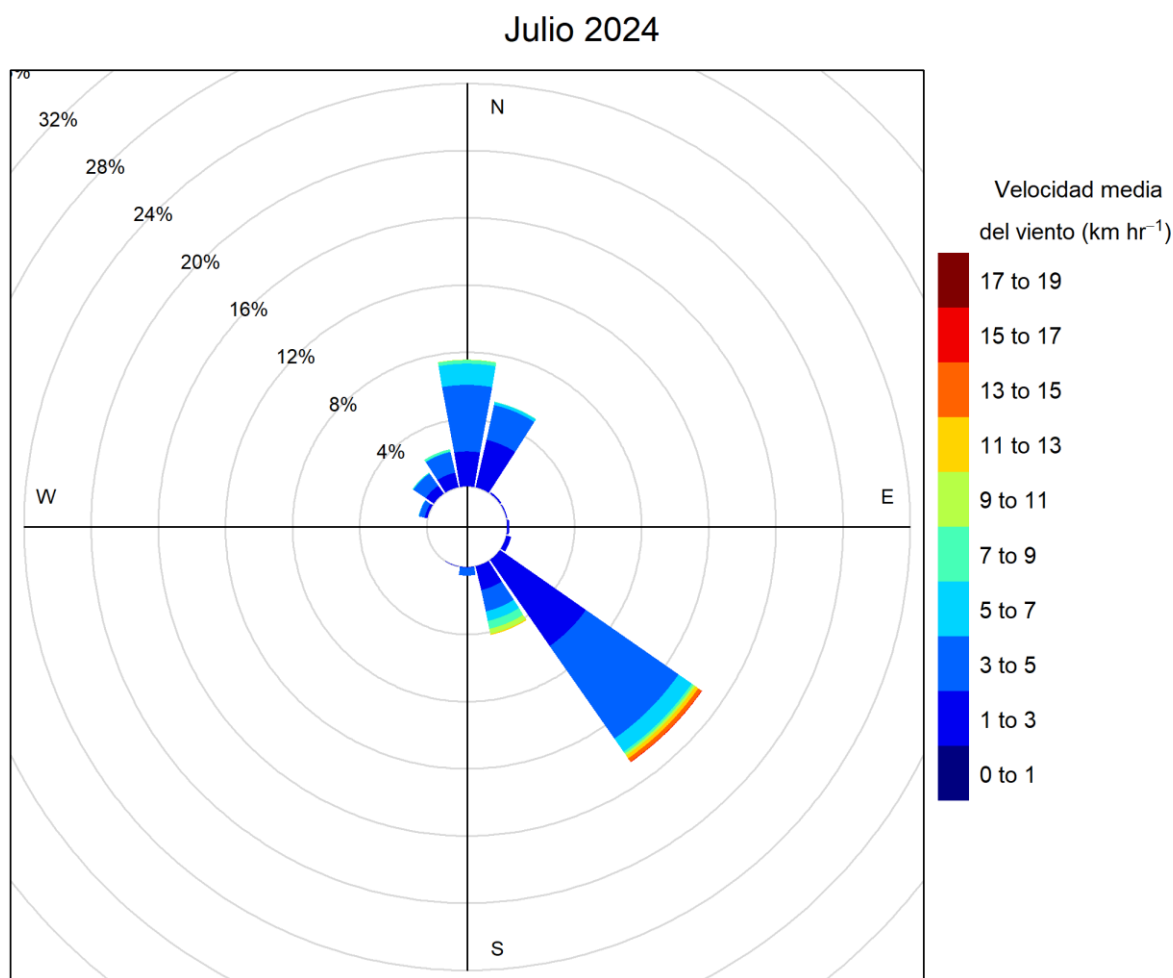


Figura 10. Porcentaje de la dirección del viento prevalente y porcentaje de cada intervalo de velocidad en cada una de las direcciones del viento para el mes de julio de 2024.

La dirección prevalente del viento fue desde el sector Sureste en 430 seguido por el sector Norte con 221 períodos, el Noreste con 153 y 123 períodos para el Sudeste. La mayor proporción de velocidades se encontraron en el rango de 3 a 5km/h. El periodo con vientos medios más fuertes fue de 16,1km/h, desde la dirección Sureste en la siesta del día 24.

⁵⁴ R Core Team (2023). R: A language and environment for statistical computing. R Foundation for Statistical Computing, Vienna, Austria. URL <https://www.R-project.org/>.

⁵⁵ Carslaw, D. C. & K. Ropkins (2012). Openair - an R package for air quality data analysis. *Environmental Modelling & Software*. Volume 27-28, 52-61.

Humedad

La humedad relativa ambiente media del mes fue de 74%⁵⁶, similar al valor medio del presente mes. En la Figura 11 se muestran los valores de humedad relativa (HR) expresados como porcentaje. La HR media se tomó como el promedio trihorario de las observaciones diarias⁵⁷. Los valores extremos diarios fueron tomados del registro de datos de la estación automática.

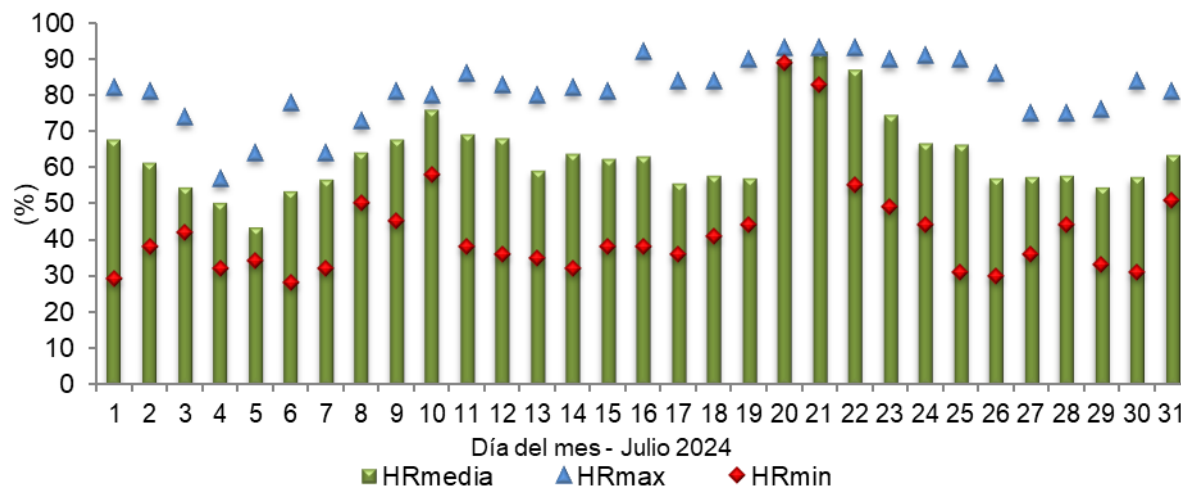


Figura 11. Valores diarios de humedad relativa (%).

El promedio de humedad relativa ambiente máxima diaria es del 81%, mientras que el promedio de valores mínimos diarios es del 42%.

El valor medio de humedad relativa fue superior al valor medio en la primera década (Figura 12).



Figura 12. Valores medios de humedad relativa (%) agrupados por décadas para el mes de julio. Referencias: colores: degradados (julio serie 1989-2014), colores uniformes (julio 2024).

⁵⁶ Con datos combinados con la estación automática para las horas y días en que estos faltan de la estación convencional (con excepción de los días 01, 03, 05, 10, 12 y 14).

⁵⁷ Promedio trihorario: para estaciones del tipo climáticas se tiene en cuenta los valores de los parámetros registrados a las 09:00, 15:00 y 21:00 horas, de acuerdo con la Hora Oficial Argentina (UTC/GMT -03:00).

En la Figura 13 se muestra la duración en horas expresadas como porcentaje del tiempo diario en que se registraron valores de humedad relativa ambiente dentro de cada clase de clasificación.

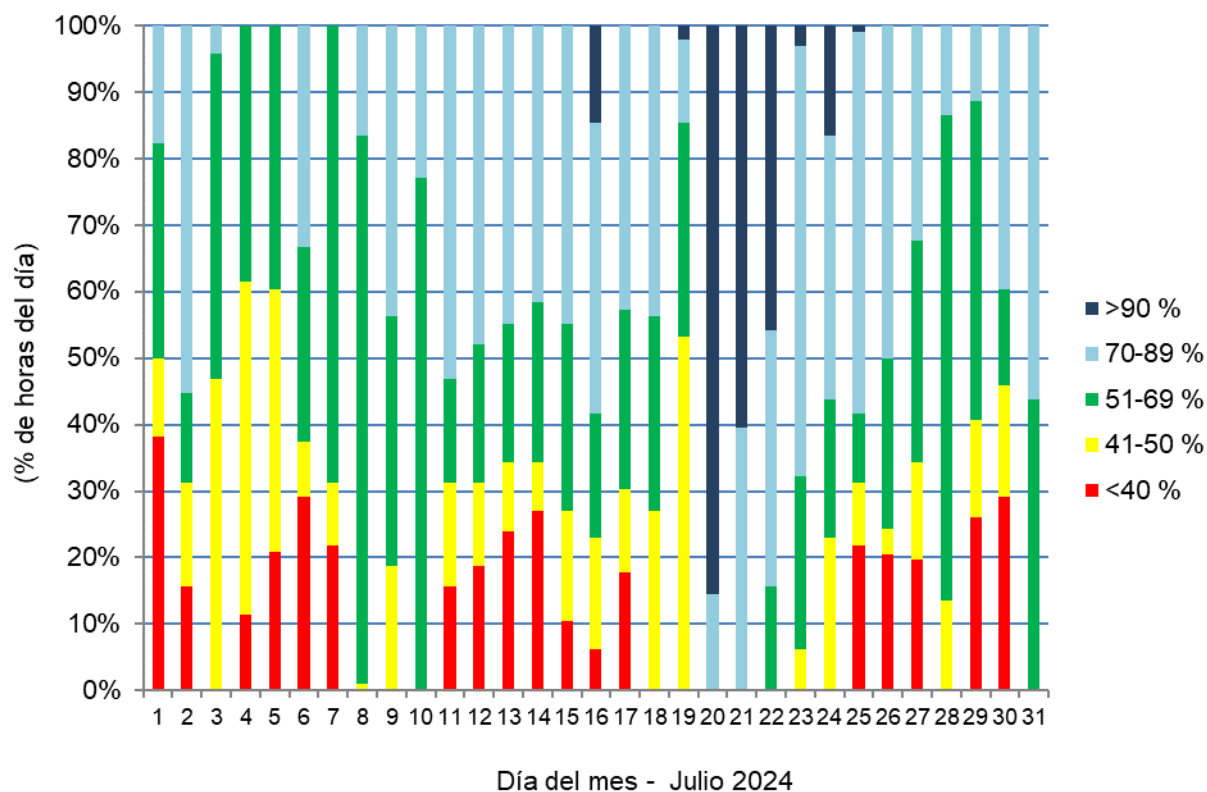


Figura 13. Duración horaria expresada como porcentaje del día para cada intervalo de humedad observado, en base al registro de la estación automática.

Se analizó el porcentaje de horas totales del actual mes que estuvieron dentro de cada intervalo en las que se dividió el registro de humedad (Figura 14).

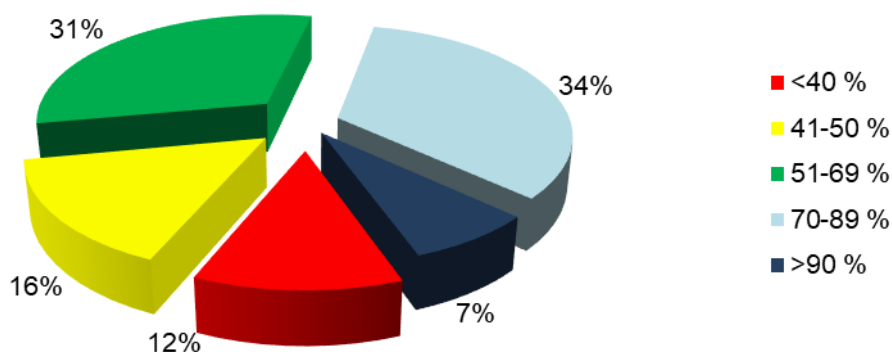


Figura 14. Horas totales mensuales expresadas como porcentaje de los diferentes rangos de humedad.

En el transcurso del mes, se han contabilizado 55 horas con humedad relativa ambiente por encima del 90% (87 horas le correspondían a esta categoría el mes pasado), mientras que

fueron 86 horas con humedad relativa por debajo del 40% (37 horas fue el registro del pasado mes de junio).

Temperatura media del suelo

La temperatura del suelo influye fuertemente los procesos biológicos que ocurren dentro de este, como la germinación de la semilla, la emergencia y crecimiento de las plántulas y el desarrollo de las raíces⁵⁸. Suelos cálidos promueven una emergencia uniforme y un rápido desarrollo de los cultivos en los estados iniciales.

Se muestra a continuación el valor medio de temperatura de suelo a 10cm de profundidad tanto como valor anotado en la observación de las 09:00 horas, así como también el promedio trihorario⁵⁹ calculado de las observaciones diarias. Además, se agrega la evolución del valor de la temperatura del suelo a 10cm de profundidad promedio de los registros a las 09:00h para cada día del mes a partir del conjunto de datos de la serie 2010-2021 (Figura 15).

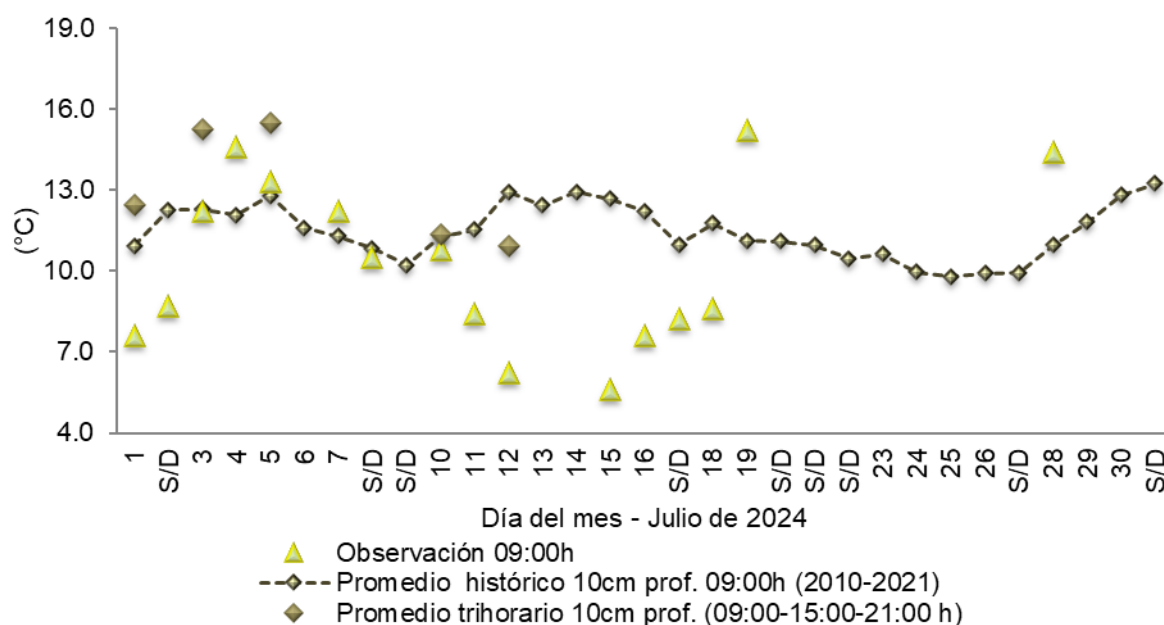


Figura 15. Valor de temperatura de suelo a las 09:00h suelo a 10cm bajo la superficie, valores medios trihorarios de temperatura de suelo a 10cm bajo la superficie. S/D: sin dato.

⁵⁸ Hillel, D. (2005): Thermal properties and processes. In: D. Hillel, J. H. Hatfield, D. S. Powlson, C. Rosenzweig, K. M. Scow, M. J. Singer, & D. L. Sparks (Eds.), *Encyclopedia of Soils in the Environment* (vol. 4, pp 156-163) Elsevier/Academic Press.

⁵⁹ Promedio trihorario: para estaciones del tipo climáticas se tiene en cuenta los valores de los parámetros registrados a las 09:00, 15:00 y 21:00 horas, de acuerdo con la Hora Oficial Argentina (UTC/GMT -03:00).

Evapotranspiración

Evapotranspiración potencial es un parámetro climático que expresa el poder de evaporación de la atmósfera. Los principales parámetros meteorológicos que afectan a la evapotranspiración son la radiación, la temperatura del aire, la humedad y la velocidad del viento. Se han desarrollado varios procedimientos para evaluar la tasa de evaporación a partir de estos parámetros, expresándose mediante la evapotranspiración del cultivo de referencia (ET₀)⁶⁰.

Si se emplean los datos de la estación automática de temperatura, humedad y radiación para los días faltantes (no los valores medio de viento), aplicando la ecuación de Fao-Penman Monteith, se acumula una evapotranspiración potencial de 35,3mm en este mes (Figura 16).

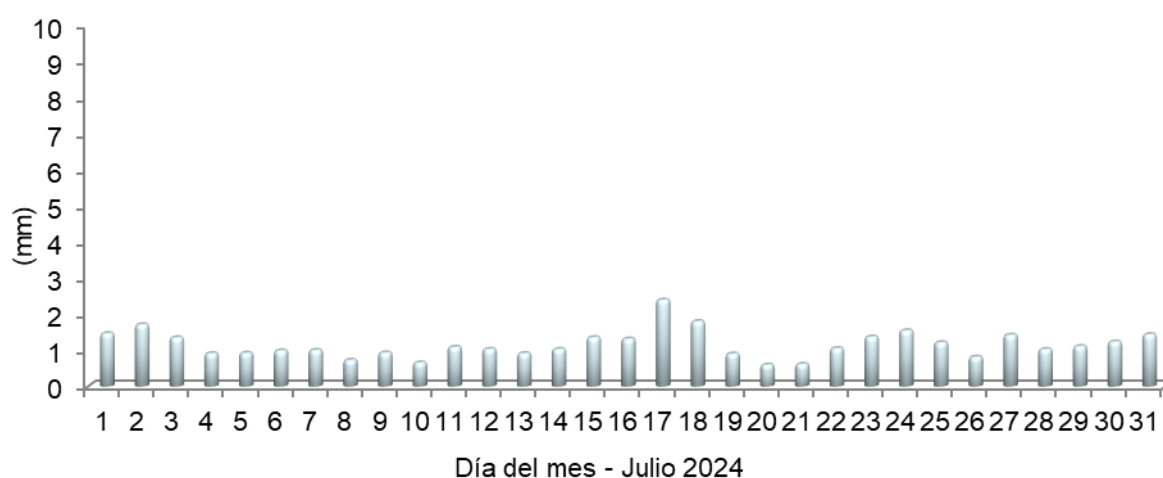


Figura 16. Valores diarios de evapotranspiración. Método Fao-Penman Monteith

Agradecemos la colaboración de los Srs. **Herrera O.W.**, **Roldán H. M.** y **Andrada R. A.**

quienes permiten dar continuidad en la toma de los datos de la estación convencional;

a los Srs. **Rufail J.E.** y **Salinas G.** del área de informática por dar soporte a los sitios web

y, a **Gomez C.E.A.** del área de comunicación.

⁶⁰ Allen, R. G., Pereira, L. S., Raes, D., & Smith, M. (1998). *Crop evapotranspiration-Guidelines for computing crop water requirements-FAO Irrigation and drainage paper 56*. Fao, Rome, 300(9), D05109.

Mapas provinciales

En primera instancia se muestran los mapas provinciales en los que se reflejan el comportamiento de la distribución de la precipitación acumulada mensual (Figura 17), así como también un mapa mostrando la anomalía porcentual de la precipitación (Figura 18). El mismo análisis se realizó para el período correspondiente a los tres últimos meses en conjunto (Figura 19 y Figura 20).

Todos fueron generados mediante software QGIS®⁶¹ de código abierto y gratuito, empleando el método de interpolación Distancia Inversa Ponderada (IDW por sus siglas en inglés).

La información corresponde a la combinación de datos obtenidos de estaciones meteorológicas convencionales pertenecientes a:

- ❖ I.N.T.A.: Campo Anexo Ing. Agr. Francisco. Cantos (ex La María).
- ❖ Servicio Meteorológico Nacional (S.M.N.): Aeródromos de Santiago del Estero, Termas de Río Hondo, Ceres y estación de Villa de María del Río Seco.

Se agregan además puntos pluviométricos convencionales pertenecientes a productores colaboradores (Reineri: Vta. de la Barranca, Udema: Bandera y Bandera RP42).

Se emplean también estaciones automáticas Davis® y Nimbus THP pertenecientes a la red I.N.T.A. de las Estaciones Experimentales Agropecuarias de Santiago del Estero, Quimilí, Las Breñas y Sáenz Peña. Además de puntos pluviométricos (Tomas Young y RN98 Puente, Puig M.; Tomas Young RP13, Puig V.; Averías RP21, Guzmán H.; Bandera RP13, Ledesma L.; Gdía. Escolta, Pistarelli J. P.; Añatuya, Salas D.) cuyos datos son recolectados por el Ing. Puig⁶² de la A.E.R. Bandera (E.E.A. Quimilí). Además, se suman los datos obtenidos por la sección de Agrometeorología perteneciente a la Estación Experimental Agroindustrial Obispo Colombres (E.E.A.O.C.) de la provincia de Tucumán (El Charco, Monte Redondo, Rapelli, Javicho, Viclos, Taco Ralo, Isca Yacu, Pozo Hondo, El Bobadal, Los Pereyra y Nueva Esperanza), los datos de la red meteorológica provincial del Ministerio de Producción de Chaco (General Pinedo, Taco Pozo, Gancedo, El Palmar y Est. El Chalet) y los de la red de estaciones meteorológicas del Ministerio de Agricultura y Ganadería de Córdoba (San Francisco del Chañar y La Rinconada), estas dos últimas a través de estaciones automáticas Omixom®. Se sumaron en el último tiempo estaciones Pegasus®, adquiridas mediante proyecto FONTAGRO, en los puntos de Nueva Francia y Colonia El Simbolar.

⁶¹ QGIS Development Team (2014). QGIS Geographic Information System. Open Source Geospatial Foundation Project. <http://qgis.osgeo.org>

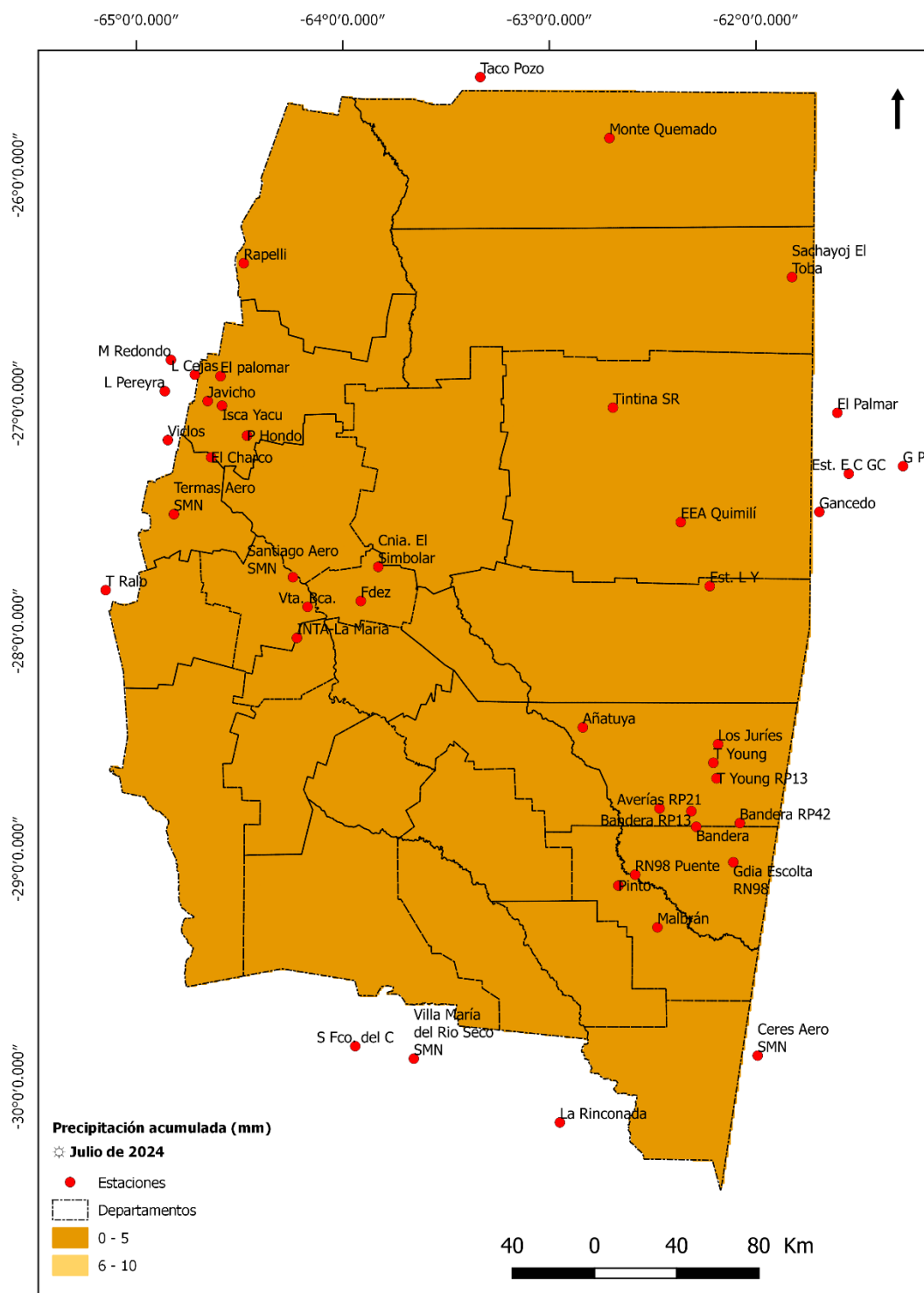
⁶² Conforman la red las seis agencias de extensión de la EEA Quimilí, productores, empresas, instituciones y organizaciones de las diferentes zonas, aportando en forma remota los registros de cada evento para la carga de una base datos para su posterior análisis, y construcción de mapas para la interpretación de distribución y de anomalías pluviométricas. Ver más en:

<https://inta.gov.ar/noticias/inta-quimili-puso-a-funcionar-su-red-pluviometrica-del-este-santiagueno>

En base a los datos de las estaciones o puntos pluviométricos confiables a los que se accedió, las precipitaciones variaron desde puntos en que no se han registrado precipitaciones hasta solo cinco sitios en que sí hubo registros Cnia. El Simbolar, Santiago AERO SMN, La Abrita Vta. La Barranca y Fernández, con valores menores a 5mm (Figura 17).

Si lo analizamos como anomalía porcentual (Figura 18), durante el mes de julio, los déficits se encontraron por debajo del promedio en toda la provincia con valores de anomalías del 50% en parte del centro oeste hasta el 100% en otros sectores sin precipitaciones.

Visualmente pueden no apreciarse los valores puntuales de las estaciones en el mapa debido a la forma en la que trabaja el algoritmo de interpolación empleado para su confección, que tiende a suavizar los valores, especialmente los extremos. La reducción en el número de estaciones automáticas tenida en cuenta para la confección de los mapas se debe a inconvenientes técnicos con los sistemas de registro y la consecuente pérdida de datos o, a fallas en la transmisión de la información por parte de estas, no permitiendo el acceso al dato al momento de la confección del presente informe.



Fuente: Instituto Nacional de Tecnología Agropecuaria; A.E.R. Bandera (E.E.A. Quimili); Servicio Meteorológico Nacional; Estación Experimental Agroindustrial Obispo Colombres, provincia de Tucumán; Ministerio de Producción, provincia de Chaco; Ministerio de Agricultura y Ganadería, provincia de Córdoba; productores colaboradores. Sistematización de datos y mapeo: Nelson J. Dominguez. Estación Experimental Agropecuaria Santiago del Estero - INTA. Método de interpolación: IDW. SRC:WGS84.

Sistema de Información Territorial de Santiago del Estero
Estación Experimental Agropecuaria Santiago del Estero
Centro Regional Tucumán-Santiago del Estero

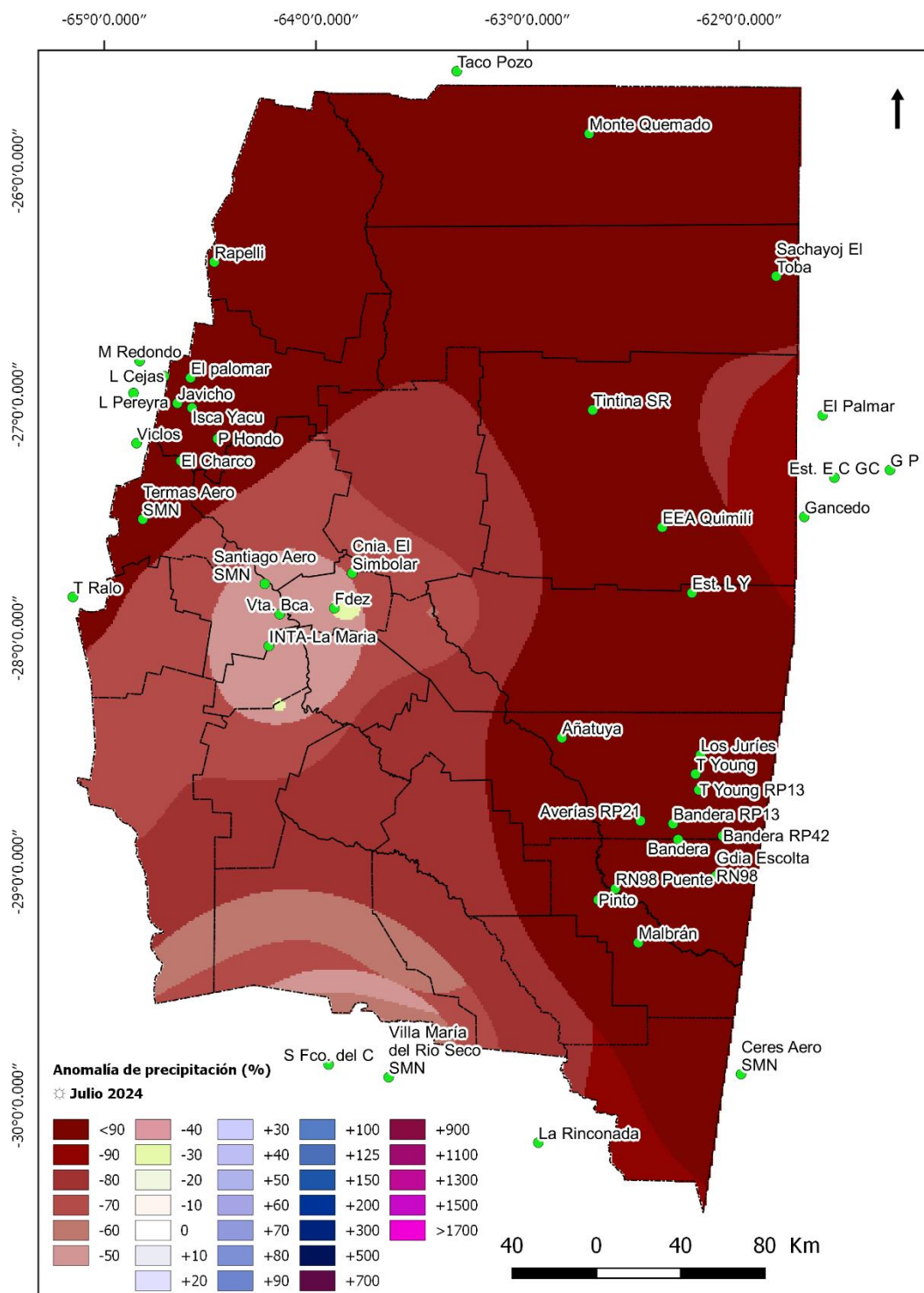
Instituto Nacional de Tecnología Agropecuaria Argentina



Ministerio de Economía República Argentina

Secretaría de Bioeconomía

Figura 17. Precipitación acumulada (mm) observada durante julio de 2024.



Fuente: Instituto Nacional de Tecnología Agropecuaria; A.E.R. Bandera (E.E.A. Quimilí); Servicio Meteorológico Nacional; Estación Experimental Agroindustrial Obispo Colombres, provincia de Tucumán; Ministerio de Producción, provincia de Chaco; Ministerio de Agricultura y Ganadería, provincia de Córdoba; productores colaboradores. Sistematización de datos y mapeo: Nelson J. Domínguez. Estación Experimental Agropecuaria Santiago del Estero - INTA. Método de interpolación: IDW. SRC: WGS84

Sistema de Información Territorial de Santiago del Estero
 Estación Experimental Agropecuaria Santiago del Estero
 Centro Regional Tucumán-Santiago del Estero

Instituto Nacional de Tecnología Agropecuaria
 Argentina



Secretaría de Bioeconomía

Figura 18. Anomalia de precipitación (%) registrada durante julio de 2024.

Las lluvias acumuladas durante el trimestre mayo-junio-julio de 2024 (Figura 19) variaron desde 0mm en varias estaciones hasta los 23mm en Las Cejas Pinto. En INTA-La María se acumularon 4,7mm y en Vta. de la Barranca, 4,0mm. Hacia el sudeste sólo los Juríes superó los 5mm En el Noreste Sachayoj El Toba sumó 2,4mm. No obstante, esto solo tiene en cuenta la interpolación a partir pocos puntos, es necesario contar con una mejor densidad de registros confiables que presenten continuidad en el tiempo para lograr una mayor representatividad de lo acontecido.

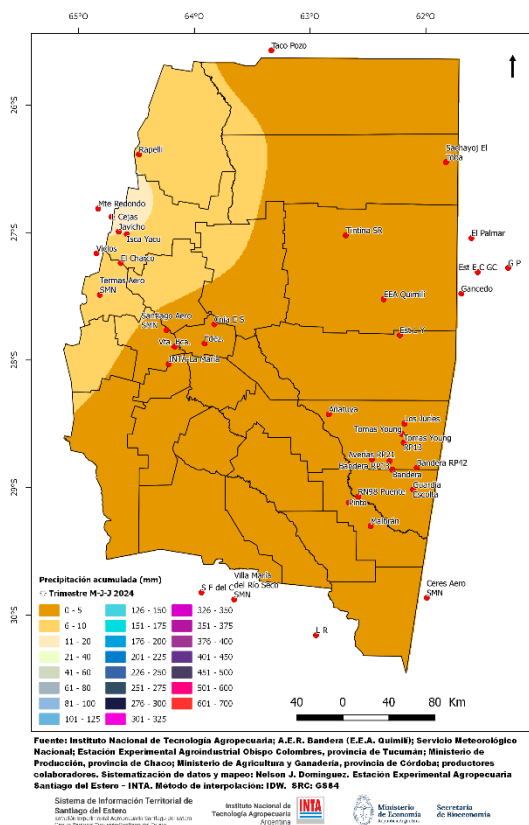


Figura 19. Precipitación acumulada (mm) entre mayo y julio de 2024.

Si analizamos el valor acumulado trimestral con relación al valor promedio histórico para igual periodo de tiempo, podemos apreciar que se presentaron anomalías negativas con valores un 40% por debajo en el noreste y del 10% en el noroeste del territorio. Valores normales en zona de Capital y hasta el 60% en algunos puntos del sudeste. Las restantes áreas en que no se cuentan con fuente de datos en esas franjas, la confiabilidad de la representación es baja (Figura 20).

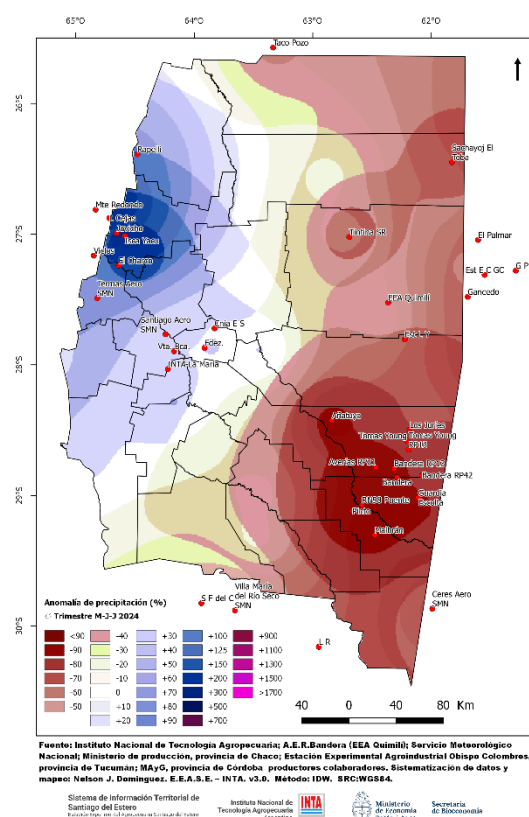


Figura 20. Anomalía de precipitación (%) entre mayo y julio de 2024.

Índice de Vegetación Normalizado

Para determinar el grado de actividad vegetal de una porción de superficie se emplean índices de vegetación obtenidos del tratamiento de los datos generados por sensores remotos ubicados a bordo de satélites. Se emplea en este caso el Índice de Vegetación de Diferencia Normalizada (NDVI, por sus siglas en inglés), producto⁶³ obtenido a partir del procesamiento de los datos recibidos por el sensor MODIS a bordo del satélite de órbita polar TERRA.

El producto NDVI se obtiene por períodos de 16 días. Las imágenes disponibles contienen el mejor de los valores entre las múltiples imágenes obtenidas usando el criterio del valor más alto de NDVI (con la menor nubosidad posible y la mejor posición del satélite con respecto a la superficie terrestre) que haya sido censado en ese período para cada punto. La resolución espacial para este producto es de 250m.

La anomalía relativa de este índice es obtenida comparando el valor del período del año en curso con el promedio del período de datos 2000-2023 (período operacional del satélite), y se calcula para cada punto del mapa, empleando el software QGIS®, mediante la fórmula:

$$\text{Anomalía relativa del NDVI} = \frac{\text{NDVI}_{2024} - \text{NDVI}_{\text{promedio}}}{\text{Desvío estándar}}$$

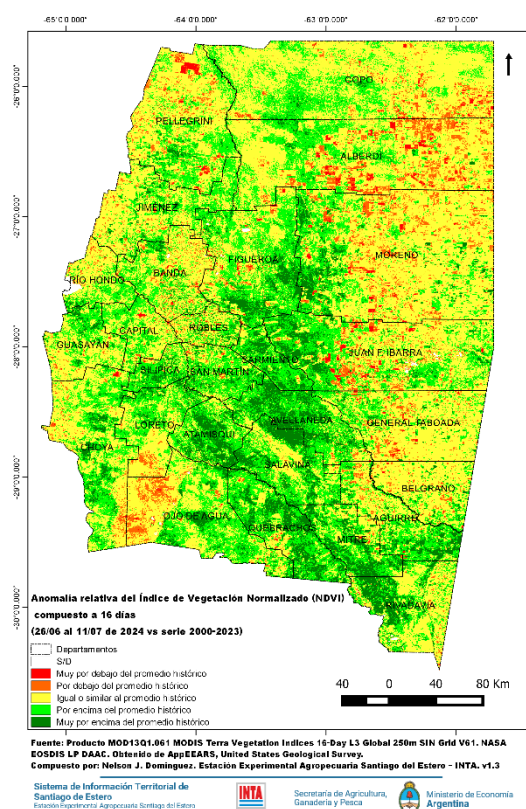


Figura 21. Anomalía relativa del NDVI del 26 de junio al 11 de julio de 2024.

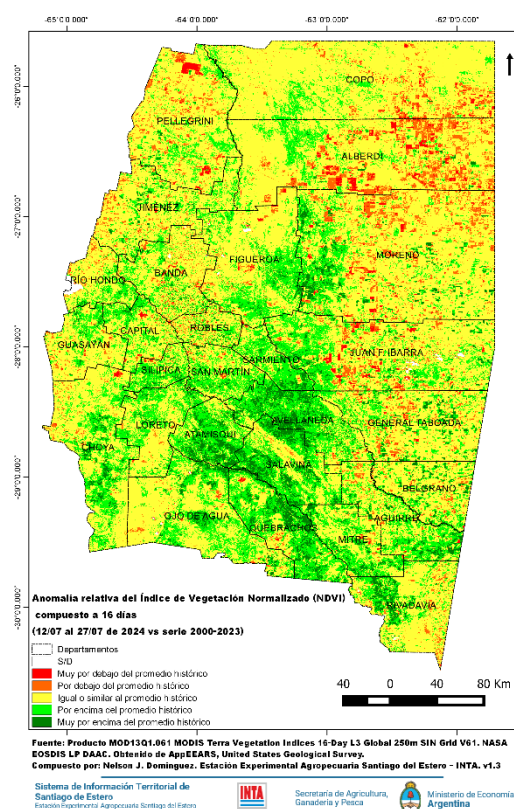


Figura 22. Anomalía relativa del NDVI del 12 al 27 de julio de 2024.

⁶³ Didan, K. (2021). *MODIS/Terra Vegetation Indices 16-Day L3 Global 250m SIN Grid V061*, distributed by NASA EOSDIS Land Processes DAAC, <https://doi.org/10.5067/MODIS/MOD13Q1.061>. Accessed 2024-08-09.

En la Figura 21 se aprecia un incremento importante de las áreas con valores “por encima del promedio histórico” en la mitad oeste de la provincia.

Si se toma en cuenta la totalidad de los píxeles con datos de la provincia, en este periodo el 53,5% corresponden a la categoría estilizada con amarillo (el 69,5 del área provincial era el ocupado por esta categoría en el período anterior), el 30,1% a la categoría de “por encima del promedio histórico” (verde claro) (12,8% en el período anterior) y el 09,9% (02,9% en el período anterior) a la categoría de “muy por encima del promedio histórico” (verde oscuro). La cantidad de píxeles que representan áreas con sus anomalías relativas del NDVI por debajo del promedio histórico, alcanzan el 6,6% (14,8% de los píxeles se encontraban en esta categoría en el periodo anterior) del territorio provincial (05,5% corresponden a la categoría “por debajo del promedio histórico” y un 01,1% a la categoría “muy por debajo del promedio histórico”).

En la Figura 22 se aprecia una leve reducción de las áreas con valores “muy por encima del promedio histórico” hacia valores que se ubican “por encima del promedio histórico” o en valores promedios.

En este período, el 64,2% corresponde a la categoría de “igual o similar al promedio histórico” (amarillo), el 23,2% a la categoría de “por encima del promedio histórico” (verde claro) y, el 05,5 %, a la categoría de “muy por encima del promedio histórico” (verde oscuro). La cantidad de píxeles que representan áreas con sus anomalías relativas del NDVI por debajo del promedio histórico, alcanzan el 07,1% del territorio provincial del que se cuenta con datos (05,8% corresponden a la categoría “por debajo del promedio histórico” y un 01,3% a la categoría “muy por debajo del promedio histórico”).

Focos de Calor

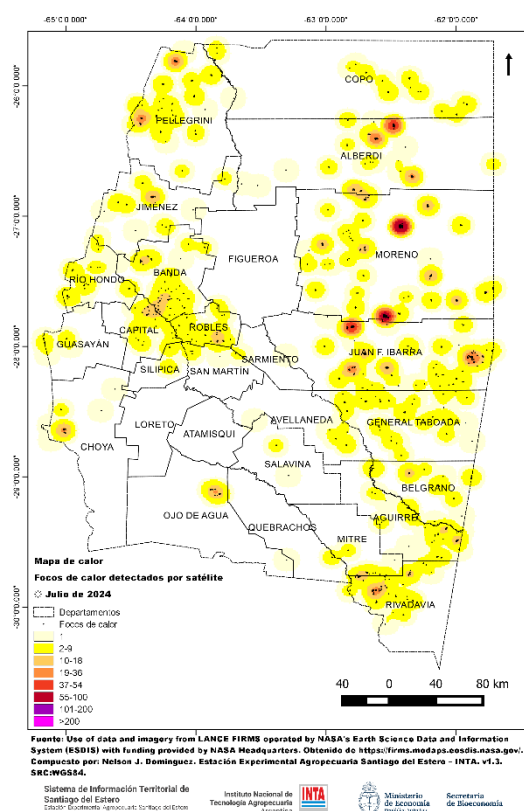


Figura 23. Focos de calor detectados por sensores satelitales y densidad de estos durante el mes de julio de 2024.

Los focos de calor son anomalías de temperatura que podrían indicar un incendio o cualquier fuente significativa de calor. En el mapa provincial se muestran los focos de calor detectados por satélite durante el mes de julio. Para ello se emplea el producto “Detección de Fuegos Activos”⁶⁴ obtenido de la información recogida por sensores VIIRS (Visible Infrared Imaging Radiometer Suite) a bordo de los satélites de órbita polar Suomi-NPP y NOAA-20. En comparación con otros productos de detección de incendios satelitales de resolución más gruesa (≥ 1 km), los datos mejorados de 375m proporcionan una mayor respuesta sobre incendios de áreas relativamente pequeñas, así como un mapeo mejorado de grandes perímetros de incendios. Se excluyen de esta visualización los focos de calor con confianza baja.

Los focos detectados presentaron mayores densidades en el este provincial, particularmente en los departamentos Alberdi y Moreno. En el noroeste también hubo algunas concentraciones importantes de focos de calor. Se detectó casi el doble de focos respecto al mes anterior (Figura 23).

Este boletín fue confeccionado por *Agrometeorología*, grupo de *Recursos Naturales* de la Estación Experimental Agropecuaria Santiago del Estero del I.N.T.A.

Para más información:

Nelson Javier Domínguez: dominguez.nelson@inta.gov.ar;

Howard van Meer: vanmeer.howard@inta.gov.ar

⁶⁴ Fire Information for Resource Management System (FIRMS). We acknowledge the use of data and imagery from LANCE FIRMS operated by NASA's Earth Science Data and Information System (ESDIS) with funding provided by NASA Headquarters. <https://firms.modaps.eosdis.nasa.gov/>